

สารดัดแปรความทนแรงกระแทกเอทิลีนไวนิลเอซีเตตโคพอลิเมอร์สำหรับพอลิโพรพิลีน

นาย สันชัย ทองคำ

วิทยานิพนธ์นี้เป็นส่วนหนึ่งของการศึกษาตามหลักสูตรปริญญาวิทยาศาสตรมหาบัณฑิต

สาขาวิชาปิโตรเคมีและวิทยาศาสตร์พอลิเมอร์

บัณฑิตวิทยาลัย จุฬาลงกรณ์มหาวิทยาลัย

ปีการศึกษา 2540

ISBN 974-638-602-6

ลิขสิทธิ์ของบัณฑิตวิทยาลัย จุฬาลงกรณ์มหาวิทยาลัย

**ETHYLENE-VINYL ACETATE COPOLYMER
IMPACT MODIFIER FOR POLYPROPYLENE**

Mr. Sanchai Thongkham

**A thesis submitted in Partial Fulfilment of the Requirements
for the Degree of Master of Science in Petrochemistry and Polymer Science**

**Graduate School
Chulalongkorn University**

Academic Year 1997

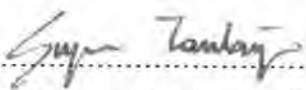
ISBN 674-638-602-6


Thesis Title Ethylene-Vinyl Acetate Copolymer Impact Modifier for Polypropylene
By Mr. Sanchai Thongkham
Department Petrochemistry and Polymer Science
Thesis Advisor Professor Pattarapan Prasassarakich, Ph.D.
Thesis Co-Advisor Anucha Euapermkiati, Ph.D.


Accepted by the Graduate School, Chulalongkorn University in Partial Fulfillment of the Requirements for a Master's Degree.


..... Dean of Graduate School
(Professor Supawat Chutivongse, M.D.)

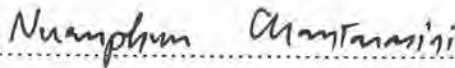
Thesis Committee

 Chairman
(Associate Professor Supawan Tantayanon, Ph.D.)

 Thesis Advisor
(Professor Pattarapan Prasassarakich, Ph.D.)

 Thesis Co-advisor
(Anucha Euapermkiati, Ph.D.)

 Member
(Associate Professor Suda Kiatkamjornwong, Ph.D.)

 Member
(Assistant Professor Nuanphun Chantarasiri, Ph.D.)

สัชชัย ทองคำ : สารคัดแปรความทนแรงกระแทกเอทิลีน ไวนิลแอซีเตด โคลิโพลิเมอร์สำหรับพอลิโพรพิลีน (Ethylene-vinyl acetate copolymer impact modifier for polypropylene) อ. ที่ปรึกษา : ศ.ดร. กัทรพรณ ประศาสน์สารกิจ, อ. ที่ปรึกษาร่วม : ดร. ธนุชา เอี่ยมเพิ่มเกียรติ. 72 หน้า. ISBN 974-638-602-6.

งานวิจัยนี้เป็นการศึกษาการใช้เอทิลีน ไวนิลแอซีเตด โคลิโพลิเมอร์ (EVA) ที่มีปริมาณไวนิลแอซีเตด (VA) 28% โดยน้ำหนักเป็นสารคัดแปรความทนแรงกระแทกสำหรับโพลิโพรพิลีน รวมทั้งศึกษาความเป็นไปได้ในการใช้พอลิโพรพิลีนกราฟต์มาเลอิกแอนไฮไดรด์ (PP-g-MA) เป็นสารช่วยเพิ่มความเข้ากันได้ (compatibilizer) โดยได้ศึกษาผลของความเร็วรอบของสกรูของเครื่องอัดขึ้นรูปแบบสกรูคู่ ปริมาณของไดควิมิวเปอร์ออกไซด์และมาเลอิกแอนไฮไดรด์ (MA) ต่อเปอร์เซ็นต์การกราฟต์ของ MA บนพอลิโพรพิลีน (PP) และค่าดัชนีการไหลของ PP-g-MA พบว่าที่ความเร็วรอบของสกรู 90 รอบต่อนาที ความเข้มข้นของไดควิมิวเปอร์ออกไซด์ 4 ส่วนต่อ 100 ส่วนเทียบกับ PP และ MA 6.3 ส่วนต่อ 100 ส่วนเทียบกับ PP เป็นสภาวะที่เหมาะสมสำหรับเตรียม PP-g-MA ที่มีสมบัติดังนี้ เปอร์เซ็นต์การกราฟต์ของ MA บน PP เท่ากับ 0.7% และค่าดัชนีการไหล (น้ำหนัก 2.16 กรัม/230^๒ซม) เท่ากับ 25 กรัมต่อ 10 นาที และนำ PP-g-MA ที่เตรียมได้ไปใช้เป็นสารช่วยเพิ่มความเข้ากันได้ในพอลิเมอร์ผสมระหว่าง PP กับ EVA (PP/EVA) โดยปริมาณ EVA ในพอลิเมอร์ผสมอยู่ในช่วง 0-50% โดยน้ำหนัก และใช้ PP-g-MA 0-10 ส่วนต่อ 100 ส่วน

EVA ที่มีปริมาณ VA เท่ากับ 28% เป็นสารคัดแปรความทนแรงกระแทกได้ดีกว่า EVA ที่มีปริมาณ VA ต่ำกว่า การใช้ PP-g-MA 2 ส่วนเทียบกับพอลิเมอร์ผสม สามารถเพิ่มสมบัติความทนแรงกระแทกได้เล็กน้อย สภาพฐาน (morphology) ของพอลิเมอร์ผสมประกอบด้วยส่วนของ EVA อยู่ในรูปของหยด กระจายตัวอยู่ทั่วไปในเนื้อของ PP เมื่อเปรียบเทียบกับสารคัดแปรความทนแรงกระแทกตัวอื่น EVA เป็นสารคัดแปรความทนแรงกระแทกที่ดีกว่าพอลิเมอร์ที่มีสมบัติขงอื่น ๆ ยกเว้น สไตรีน-เอทิลีน-บิวตาไดอีน-สไตรีนที่ส่วนผสม 20%

ความต้านแรงดึงยึดและความแข็งของพอลิเมอร์ผสมจะลดลงตามปริมาณของ EVA ที่เพิ่มขึ้นและการใช้ PP-g-MA จะไม่มีผลต่อสมบัติดังกล่าว ความยึดที่จุดขาดของพอลิเมอร์ผสมจะเพิ่มขึ้นเมื่อปริมาณ EVA ในพอลิเมอร์ผสมเพิ่มขึ้นในช่วง 5-40% ถ้าปริมาณมากกว่า 40% จะทำให้สมบัติดังกล่าวลดลง การใช้ PP-g-MA จะทำให้ความยึดที่จุดขาดลดลงเล็กน้อยเมื่อปริมาณ EVA ในพอลิเมอร์ผสมอยู่ในช่วง 5-30% และจะลดลงมากเมื่อใช้ EVA ในพอลิเมอร์ผสมสูงถึง 40-50% โดยเฉพาะอย่างยิ่งเมื่อใส่ปริมาณของ PP-g-MA เป็น 6 และ 10 ส่วนเทียบกับพอลิเมอร์ผสม ความเข้ากันได้เป็นเนื้อเดียวของพอลิเมอร์ผสมพบว่า EVA สามารถเข้ากันได้เนื้อเดียวกับ PP เฉพาะส่วนที่เป็นออสันฐานของ PP เท่านั้น

ภาควิชา
สาขาวิชา
ปีการศึกษา 25๕๐

ลายมือชื่อนิสิต
ลายมือชื่ออาจารย์ที่ปรึกษา
ลายมือชื่ออาจารย์ที่ปรึกษาร่วม

#C733923 : MAJOR PETROCHEMISTRY AND POLYMER SCIENCE
 KEY WORD: POLYPROPYLENE/ EVA/ PROPYLENE GRAFTED MALEIC ANHYDRIDE/ IMPACT MODIFIER
 SANCHAI THONGKHAM : ETHYLENE-VINYL ACETATE COPOLYMER : IMPACT MODIFIER FOR
 POLYPROPYLENE. THESIS ADVISOR : PROF. PATTARAPAN PRASASSARAKICH, Ph.D.
 THESIS CO-ASVISOR : ANUCHA EUAPFERMKIATI, Ph.D. 72 pp. ISBN 974-638-602-6.

The study of utilization of ethylene-vinyl acetate copolymer (EVA) having 28% by weight of vinylacetate (VA) content as an impact modifier for isotactic polypropylene (PP) was carried out as well as the study of a possibility to use polypropylene grafted maleic anhydride (PP-g-MA) as a compatibilizer. Effect of screw speed of a twin screw extruder, amount of dicumyl peroxide and maleic anhydride (MA) on percentage of MA grafting onto PP and melt flow index of the resulting PP-g-MA were studied. The optimum condition for the preparation of PP-g-MA was found, the screw speed should be of 90 rpm, dicumyl peroxide of 4 phr, and MA of 6.3 phr. The properties of resulting PP-g-MA were 0.7% grafting, and melt flow index (load 2.16 kg/230°C) of 25 g/10min. This PP-g-MA was employed as the compatibilizer for PP/EVA blend which EVA in the polyblend were in the range of 0-50% and PP-g-MA of 0-10 phr.

EVA having 28% VA content was better impact modifier than that having lower VA content. Usage of 2 phr PP-g-MA slightly improved the impact strength property. Morphology of the polyblend composed of EVA droplet dispersed in the matrix of PP. When compared with other elastomers, EVA was the better modifier than the others, except styrene-ethylene-butadiene-styrene (SEBS) at 20%.

Tensile strength at yield and hardness of polyblend decreased with the increase of EVA amount and the usage of PP-g-MA did not affect on that properties. Elongation at break of polyblend increased with the increase of EVA content in polyblend from 5 to 40%. If the amount was over than 40%, this property was poorer. The usage PP-g-MA slightly decreased the elongation at break when the EVA content in polyblend was 5-30%. The large decrease of this property was when the EVA content in the polyblend was upto 40-50%, especially, when the amount of PP-g-MA used was 6 and 10 phr. The miscibility of polyblend found that EVA could be only miscible with the amorphous region of PP.

ภาควิชา.....
 สาขาวิชา.....
 ปีการศึกษา.....

ลายมือชื่อนิสิต.....
 ลายมือชื่ออาจารย์ที่ปรึกษา.....
 ลายมือชื่ออาจารย์ที่ปรึกษาร่วม.....

ACKNOWLEDGEMENTS

The author wishes to thank Professor Dr. Pattarapan Prasassarakich, advisor, for encouragement during the research work and the thesis preparation. Sincere thanks and gratification are going Dr. Anucha Euapermkiati, co-advisor, for valuable guidance and encouragement throughout the course of the research and during preparation of the thesis.

He is also grateful to Associate Professor Dr. Supawan Tantayanon, Associate Professor Dr. Suda Kiatkamjornwong, and Assistant Professor Dr. Nuanphun Chantarasiri for serving as chairperson and members of thesis committee, respectively.

In addition, he would like to acknowledge the Research and Development Department and the Product Control I Section, Thai Petrochemical Industry (Public) Co., Ltd., allowing to use equipments and instruments during the courses of studies. Without the company supports this thesis has not been completed.

Finally, he is grateful to his parents and his sister for their encouragements, and supports. Many thanks are going to friends and everyone, whose names are not mentioned here, who contribute suggestions and supports during the course of research.

CONTENTS

	PAGE
ABSTRACT (IN THAI).....	IV
ABSTRACT (IN ENGLISH).....	V
ACKNOWLEDGMENTS.....	VI
CONTENTS.....	VII
LIST OF TABLES.....	IX
LIST OF FIGURES.....	X
ABBREVIATIONS.....	XIII
CHAPTER I. INTRODUCTION	
Introduction.....	1
Objective.....	2
Scope of the Research.....	2
CHAPTER II THEORY AND LITERATURE REVIEW	
2.1 Melt Blending Process and Morphology of Polyblend.....	4
2.2 Impact Modifiers.....	5
2.3 Phase Stabilization.....	6
2.3.1 Copolymer and Grafted Copolymer.....	6
2.3.2 Functionalized Polymers and Copolymers.....	7
2.4 T_g -composition Analysis of Miscible Polymer Blend.....	7
2.5 Polypropylene Polyblends.....	10
2.6 Ethylene-Vinyl Acetate Copolymer Polyblends.....	10
2.7 Polypropylene Grafted Maleic Anhydride.....	12
2.8 Literature Reviews.....	13
CHAPTER III EXPERIMENTAL	
3.1 Materials.....	17
3.2 Instruments.....	17
3.3 Experimental.....	18
3.3.1 Preparation of PP Powder.....	18

	PAGE
3.3.2 Grafting Maleic Anhydride onto Polypropylene	18
3.3.3 Preparation of PP and EVA (PP/EVA) Blend	19
3.4 Characterization of PP-g-MA	21
3.4.1 Determination of Maleic Anhydride Content	21
3.4.2 Measurement of MFI	21
3.5. Mechanical Property	22
3.5.1 Izod Impact Strength Testing	22
3.5.2 Tensile Property Measurement	22
3.5.3 Measurement of Hardness	22
3.6 Differential Scanning Calorimetric Technique	22
3.6.1 Determination of Melting Temperature (T_m)	22
3.5.2 Determination of Glass Transition Temperature (T_g)	23
3.7 Morphology of Polymer Blends	23
CHAPTER IV RESULT AND DISCUSSION	
4.1 Grafting Maleic Anhydride onto Polypropylene	24
4.2 Mechanical Properties of PP/EVA Blend	29
4.2.1 Impact Strength of PP/EVA Blend	29
4.2.2 Tensile Strength of PP/EVA Blend	37
4.2.3 Elongation at Break of PP/EVA Blend	37
4.2.4 Hardness of PP/EVA Blend	37
4.3 Morphology of PP/EVA Blend	41
4.4 Miscibility Study of PP/EVA Blends by DSC Measurement	52
CHAPTER V CONCLUSION AND SUGGESTION FOR FURTHER WORK	
5.1 Conclusion	60
5.2 Suggestion for Further Work	61
REFERENCES	62
APPENDIX	65
VITA	72

LIST OF TABLES

TABLES	PAGE
3.1 The amount of DCP and MA, and the screw speeds of twin screw extruder employed for the preparation of maleic anhydride grafted PP (PP-g-MA).....	19
4.1 Grafting level and MFI of PP-g-MA at various screw speeds, DCP, and MA concentrations.....	25
4.2 Mechanical properties of PP/EVA blends with various compatibilizer concentrations.....	31
4.3 Relative impact strength of the blends of PP with various elastomers.....	35
4.4 Range of droplet sizes of dispersed EVA in the polyblend.....	42
4.5 T_g and T_m of PP/EVA blends with various PP-g-MA concentrations.....	53

LIST OF FIGURE

FIGURE	PAGE
2.1 Classification of polymer blends.....	3
2.2 Failure mechanisms in polymeric materials.....	5
2.3 Generalized behavior of T_g relationships for miscible polymer blends.....	8
3.1 Diagram of experimental procedure to preparation PP-g-MA and PP/EVA blend.....	20
4.1 Effect of screw speed of the twin screw extruder ($L/D = 42/7$, and screw diameter = 41.8) on the MA grafting level and $MFI_{2.16, 230^\circ C}$ of PP-g-MA.....	26
4.2 Effect of DCP concentration on the MA grafting level and $MFI_{2.16, 230^\circ C}$ of the PP-g-MA.....	27
4.3 Effect of MA concentration on the MA grafting level and $MFI_{2.16, 230^\circ C}$ of PP-g-MA.....	28
4.4 Impact strength of PP/EVA blends against % by weight of EVA in the blend composition.....	32
4.5 Impact strength of PP/EVA blends with various % VA contents in EVA.....	33
4.6 Impact strength of PP/EVA blends against % by weight of EVA in the blend composition at various amounts of PP-g-MA.....	34
4.7 Plot of relative impact strength of the blends of PP with various types of elastomers against the amount of elastomer in the blends.....	36
4.8 Tensile strength as a function of EVA content of PP/EVA blends with various amounts of PP-g-MA compatibilizer.....	38
4.9 Elongation at break as a function of EVA content of PP/EVA blends with various amounts of PP-g-MA compatibilizer.....	39
4.10 Rockwell Hardness as a function of EVA composition of PP/EVA blends with various amounts of PP-g-MA compatibilizer.....	40

FIGURE	PAGE
4.11 Scanning electron micrographs (magnification 7,000 times) of PP/EVA blends with variation of EVA content (% wt).....	43
4.12 Scanning electron micrographs (magnification 7,000 times) of PP/EVA blends with 10% by weight EVA. PP-g-MA was used as the compatibilizer.....	45
4.13 Scanning electron micrographs (magnification 7,000 times) of PP/EVA blends with 20% by weight EVA. PP-g-MA was used as the compatibilizer.....	46
4.14 Scanning electron micrographs (magnification 7,000 times) of PP/EVA blends with 30% by weight EVA. PP-g-MA was used as the compatibilizer.....	47
4.15 Scanning electron micrographs (magnification 7,000 times) of PP/EVA blends with 40% by weight EVA. PP-g-MA was used as the compatibilizer.....	48
4.16 Scanning electron micrographs (magnification 7,000 times) of PP/EVA blends with 50% by weight EVA. PP-g-MA was used as the compatibilizer.....	50
4.17 T_g of PP/EVA with various PP-g-MA concentrations compared with those calculated theoretically.....	54
4.18 DSC thermograms exhibit the glass transition of PP/EVA blends.....	55
4.19 DSC thermograms exhibit the melting transition of PP/EVA blends.....	55
4.20 DSC thermograms exhibit the glass transition of PP/EVA blends having 40% EVA in the blend composition. Various amount of PP-g-MA the compatibilizer are labelled on the curves.....	56
4.21 DSC thermograms exhibit the glass transition of PP/EVA blends having 50% EVA in the blend composition. Various amount of PP-g-MA the compatibilizer are labelled on the curves.....	57

FIGURE	PAGE
4.22 DSC thermograms exhibit the melting transition of PP/EVA blends having 40% EVA in the blend composition. Various amount of PP-g-MA compatibilizer are labelled on the curves.	57
4.23 DSC thermograms exhibit the melting transition of PP/EVA blends having 50% EVA in the blend composition. Various amount of PP-g-MA compatibilizer are labelled on the curves.	58

ABBREVIATIONS

PP	polypropylene
EVA	ethylene-vinyl acetate copolymer
PP-g-MA	polypropylene grafted maleic anhydride or poly(propylene -g- maleic anhydride)
SEM	scanning electron microscopy
PE	polyethylene
LDPE	low density polyethylene
HDPE	high density polyethylene
PS	polystyrene
EPR	ethylene-propylene rubber
PA6,6	poly(amide-6,6)
LLDPE	linear low density polyethylene
EPDM	ethylene-propylene-diene monomer terpolymer
MSBS	methyl methacrylate-acrylonitrile-butadiene-styrene terpolymer
PVC	poly(vinyl chloride)
rpm	revolution per minute
phr	part per hundred
MA	maleic anhydride
VA	vinyl acetate
DSC	differential scanning calorimetry
T_g	glass transition temperature
a_T	segmental frictional coefficient
W_i	weight fraction of i component
k	ratio of the thermal expansion coefficient between the rubber and glass states of the component polymer
f_i	volume fraction of i component
MFI	melt flow index